

## УСТРОЙСТВО ДЛЯ ИССЛЕДОВАНИЯ ХАРАКТЕРИСТИК ЛИНЕЙНЫХ АСИНХРОННЫХ ДВИГАТЕЛЕЙ

Субботин О.В., Пивоваров Л.В.

Донбасская государственная машиностроительная академия, г. Краматорск,  
факультет автоматизации машиностроения

### Abstract

*Subbotin O.V., Pivovarov L.V. The device for linear anisochronous engine parameters' research. The opportunity of the optimization of the single-phase linear anisochronous engine and the converter parameters is considered. The variant of pendulum model for an experimental research of the converter is offered.*

**Постановка проблемы.** Применение однофазных линейных асинхронных двигателей (ОЛАД) по сравнению с трехфазными наиболее предпочтительнее из-за конструктивной простоты, дешевизны, надежности и долговечности. В существующем конструктивном варианте индуктор однофазного линейного АД может быть пригоден для работы в режиме дросселя или магнетогидродинамического (МГД) насоса в замкнутых или раскрытых металлических или других электропроводных контурах (электромагнитный затвор, транспортирование жидких электропроводных материалов).

**Формулирование цели статьи.** Целью настоящих исследований является повышение эффективности ОЛАД в частности, и технологических систем, построенных на их базе, в целом.

**Постановка задачи исследований.** Для определения параметров однофазных линейных асинхронных двигателей предполагается проведение теоретических исследований и конструирование измерительного стенда.

**Изложение основного материала.** Предположим, что число пар полюсов индуктора велико, бегун выполнен из магнитного материала и длинна его достаточно велика, тогда для определения силовой функции ( $F$ ) используем формулу электромагнитного осевого давления на бегун ( $P$ ) [1]:

$$P = \frac{B_0^2}{2\mu_0}, \quad F = Ps,$$

где  $s$  – поперечное сечение немагнитного зазора бегуна,  $\mu_0$  – магнитная проницаемость вдоль зазора.

В неподвижном теле бегуна намагничивающий поток обмоток статора индуцирует лишь одну трансформаторную ЭДС -  $e_m = \frac{d\Phi_0}{dt}$ , где  $\Phi_0$  – магнитный поток в бегуне. Неподвижный бегун выполняет здесь функцию вторичной обмотки трансформатора. В статическом режиме прямо и обратно бегущие поля бегуна идентичны и компенсируются, а индуцируемые в бегуне трансформаторные токи, взаимодействуя с полем статора, создают радиальное давление на бегун и часто расходуется на его нагрев.

Если бегун внешними силами приводится в движение в каком-либо направлении вдоль своей оси, то магнитное прямо бегущее поле своим давлением будет содействовать этому движению, а обратно бегущее поле – тормозит это движение. Поскольку частота токов

прямого поля, а, следовательно, индуктивное сопротивление бегуна прямому полю при движении уменьшается, а частота токов обратного поля и индуктивное сопротивление относительно бегуна увеличивается, то при некоторой скорости бегуна давление прямого поля  $P_1$  оказывается больше обратного  $P_2$ . В результате возникает суммарное осевое давление, действующее на бегун в направлении его начального движения и равное  $P = P_1 - P_2$ .

Обратно бегущая относительно бегуна магнитодвижущая сила (м.д.с.) создает режим электромагнитного тормоза при котором в бегуне наводятся токи повышенной частоты.

Суммарное осевое давление является функцией от скольжения.

Так как всегда  $\omega_1 - \omega_2 = 2\omega$ , то  $s = \frac{2\omega - \omega_2}{\omega} = 2 - \frac{\omega_2}{\omega}$ ,  $\omega_1 = (2 - s)\omega$ .

Соответственно с повышением частоты возрастает сопротивление бегуна, вследствие чего сила тяги уменьшается.

По мере возрастания скорости бегуна в направлении движения поля происходит перераспределение напряжения сети между частями обмотки (в следствие смещения магнитного поля в направлении движения бегуна). Этим объясняется тот факт, что намагничивающий ток однофазного двигателя больше, чем трехфазного, а  $\cos\phi$  меньше. Отдача и перегрузочная способность также меньше: в бегуне существует как бы два тока – ток частоты  $f_s$  и ток частоты  $f_{2-s}$  (токи трансформации и движения). Каждый из них создает потери и, следовательно, общие потери ОЛАД увеличиваются. Уменьшение перегрузочной способности объясняется действием встречного обратного тормозного бегущего поля. Регулирование скорости также происходит труднее и в более узком диапазоне.

Таким образом, все характеристики ОЛАД (пусковые, рабочие и регулировочные) хуже чем у трехфазных, однако простота конструкции, дешевизна, надежность, долговечность, лучшие условия охлаждения, технологичность конструкции, способность работать в режиме дросселя или в магнитогидродинамическом насосе (МГД) их выгодно отличает. Поэтому проблема оптимизации, повышения эффективности ОЛАД остается актуальной.

Наиболее существенные недостатки преобразователя на базе ОЛАД [2]:

- потери энергии на компенсацию электромагнитного давления обратно бегущей волны магнитодвижущей силы (м.д.с.). Коэффициент торможения равен  $k_m = P_{(s=2)}^* / P_{(s=s_k)}^*$ ;
- ширина «мертвой зоны» –  $\Delta = 2s_k$ , лежащая между критическими значениями прямой и обратной волн, должна быть возможно меньшей;
- максимальное давление поля  $P_{\max}(s=s_k)$  должно быть возможно большим.

Для оптимизации параметров бегуна пригодны методы, применяемые в трехфазных асинхронных машинах:

- глубокопазная обмотка бегуна, двойная беличья клетка;
- бегун с фазной обмоткой;
- частотное управление пуском и рабочим ходом.

Отдельной является задача оптимального выбора толщины цельной гладкой обмотки бегуна, механически соединенной с ферромагнитным телом бегуна для двигателя небольшой мощности.

В преобразователях типа ОЛАД с жидким или жидкометаллическим бегуном – электромагнитные насосы для перекачивания или дросселирования электропроводной среды (жидкие металлы, водные растворы кислот, солей, щелочей и т. п.) – оптимизация электромагнитного давления возможна по частоте возбуждающего тока, по профилю

жидкостного канала, транспортирующего жидкость, а также по температуре. Подобные преобразователи требуют тщательной экспериментальной проверки.

Для испытания линейных асинхронных двигателей (АД), в том числе и однофазных пригодна физическая модель, описанная в авторском свидетельстве «Стенд испытательный» [3]. Более простой моделью является маятниковое устройство, разработанное авторами.

**Эксперимент.** Устройство для исследования характеристик линейных асинхронных двигателей должно быть снабжено механизмом возвратно-поступательного движения, например, кулачковым, кривошипно-шатунным, вибрационным (пружинным) и др. В данной работе использованы, разработанные авторами, варианты маятникового устройства, структурная схема которого и пояснения к ней представлены на рис. 1,а. Предполагается, что длина маятника достаточно велика, а длина магнитопровода мала и, следовательно, кривизной маятника пренебрегаем. Там же (рис. 1,б) представлена схема экспериментального устройства, в котором бегуну сообщается возвратно-поступательное колебательное движение в вертикальной плоскости с помощью жесткой пружины и массивного тела. Методики исследования характеристик линейных асинхронных двигателей для указанных вариантов установок аналогичны.

Более простой моделью «является маятниковый бегун». Неподвижный плоский или цилиндрический индуктор 1 с обмоткой, возбужденной от однофазного источника напряжения  $U$ ; подвижная часть двигателя – бегун 2 подвешен на жестком стержне  $R$ , способном совершать колебания вокруг точки подвеса  $O$  в пределах  $\pm\pi$  радиан. Устройство снабжено шкалой 3, градуированной углом отклонения  $\varphi$  от вертикали.

Пренебрегая трением в точке подвеса маятника, трением о воздух и гироскопическими силами, возникающими в результате вращения Земли, характеристики маятника-бегуна запишутся в следующем виде:

- период колебания:  $T = 2\pi \sqrt{l/g}$ ,  $l = R \pm \Delta R$ ;

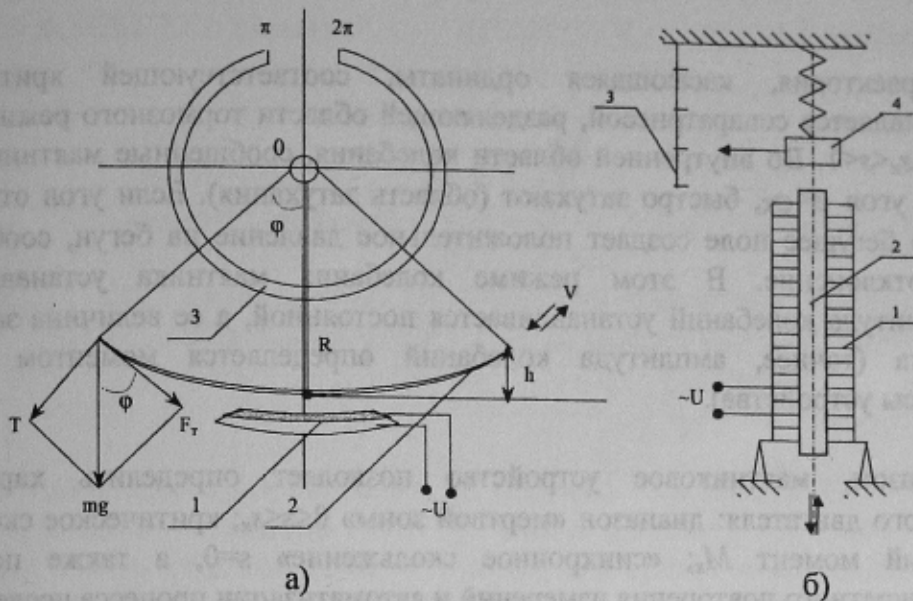
- высота подъема маятника относительно точки покоя:  $h = l(1 - \cos \varphi)$ ;

- максимальная скорость движения маятника:  $v_{\max} = 2\sqrt{gl}$ .

Скорость бегущего магнитного поля:  $v = 2\tau f \pm v_0$ .

В зависимости от начального угла отклонения  $\varphi$  максимальная скорость бегуна при пересечении вертикали изменяется в диапазоне  $0 \leq v \leq 2\sqrt{gl}$ , где  $g$  – ускорение силы тяжести,  $l$  – длина маятника (например, если  $l=1$ м, то  $v_{\max} \approx 6$ м/с). Для пружинной модели  $l=H$ .

При малых отклонениях маятника, когда скольжение бегуна меньше критического  $s_k$ , бегун находится в тормозном магнитном поле и его колебания быстро затухают. Когда начальный угол отклонения маятника равен  $\varphi$ , то при  $s \geq s_k$  маятник будет совершать незатухающие колебания, амплитуда которых зависит от скольжения. Внешняя тормозная сила  $F_1$ , действующая вдоль оси бегуна, также пропорциональна углу отклонения  $\varphi$ . Тогда, исследуя колебания бегуна в поле ОЛАД, получают основные характеристики бегуна:  $P^*(s)$ ; диапазон мертвой зоны; максимальный момент (силу тяги  $F$ ) и оценку его эффективности и качества.



1- индуктор, 2- бегун (маятник), 3 – шкала отклонений  $\varphi$  маятника от вертикали, 4 – балласт, массой  $m_0$ ,  $U$  – напряжение источника питания

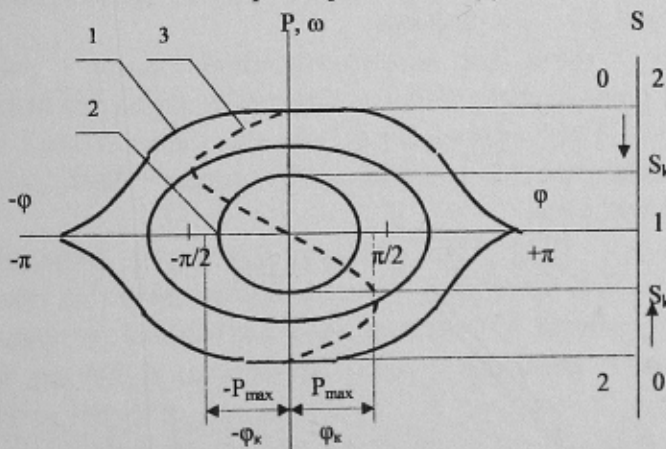
Рисунок 1 – Структурный вариант установки для измерения параметров характеристики  $P^*(S)$  однофазного линейного асинхронного двигателя: а – маятниковая, б - пружинная

Фазовый портрет маятникового бегуна, совмещенный с характеристикой  $P^*(s)$ , показан на рис. 2. Сплошными замкнутыми линиями на портрете изображены фазовые траектории свободного консервативного маятника:

$$\omega(\varphi) = \pm \sqrt{\frac{2}{J}(c + mgl \cdot \cos \varphi)},$$

где  $mg$  – вес,  $J$  – момент инерции маятника,  $c$  – константа интегрирования для точки начала координат маятника (0,0),  $c = -mgl$ .

Точка начала координат соответствует положению неподвижного бегуна (скольжение  $s=1$  характеристики  $P^*(s)$ ). Ось угловой частоты колебаний маятника совпадает (параллельна) с осью скольжения характеристики  $P(s)$ .



1 – фазовая траектория маятника-бегуна при отклонении на  $\pm\pi$ , 2 – сепаратриса, разделяющая портрет на область торможения и область режима двигателя,  $S_k$  – критическое скольжение при максимальном давлении поля  $P_{max}$

Рисунок 2 – Качественный фазовый портрет маятника, совмещенный с характеристикой  $P(S)$  ОАЛД

Фазовая траектория, касающаяся ординаты, соответствующей критическому скольжению  $s=s_k$ , является сепаратриссой, разделяющей области тормозного режима  $s<s_k$  и режима движения  $s_k<s<1$ . Во внутренней области колебания, сообщенные маятнику-бегуну внешней силой на угол  $\varphi<\varphi_k$ , быстро затухают (область затухания). Если угол отклонения маятника  $\varphi>\varphi_k$ , то бегущее поле создает положительное давление на бегун, сообщая ему дополнительное отклонение. В этом режиме колебания маятника устанавливаются стабильными, амплитуда колебаний устанавливается постоянной, а ее величина зависит от веса  $mg$  маятника (точнее, амплитуда колебаний определяется моментом инерции колеблющейся массы устройства).

#### Выводы.

Таким образом, маятниковое устройство позволяет определить характерные параметры линейного двигателя: диапазон «мертвой зоны»  $0\leq s\leq s_k$ ; критическое скольжение  $s_k$  и максимальный момент  $M_k$ ; «синхронное скольжение»  $s=0$ , а также появляется возможность многократного повторения измерений и автоматизации процесса исследования.

Установка пригодна для контроля и экспериментальной оптимизации основных параметров и характеристик линейных двигателей и преобразователей на их базе в автоматическом режиме.

#### Литература

- 1 Однофазный линейный асинхронный преобразователь / Пивоваров Л.В., Квашнин В.О., Субботин О.В. // Вимірювальна та обчислювальна техніка в технологічних процесах: Збірник наукових праць. - Хмельницький: ТУП, 2002. Том 1. – С.205-207.
- 2 Однофазный линейный асинхронный преобразователь для технологических систем с твердым или жидкометаллическим вторичным контуром /Пивоваров Л.В., Субботин О.В., Квашнин В.О. // Перспективні задачі інженерної науки. – Дніпропетровськ: GAUDEAMUS, 2002.-Випуск 4.-С.195-201.
- 3 Пивоваров Л.В. “Стенд испытательный”. А.С.(19)SU(11)1024856А. - 1981.